

## СТАТИСТИКА ПОЛЯ ЛИНЕЙНОЙ СЕКЦИОННОЙ АНТЕННЫ

Я. С. Шифрин, Л. Г. Корниенко

Харьков

**Постановка задачи. Основные допущения.** Влияние случайных ошибок в амплитудно-фазовом распределении источников является существенным ограничением при построении антенн больших габаритов с высококачественными показателями.

Использование секционных антенн больших габаритов позволяет устранить некоторые трудности. Секционными антеннами назовем антенны, состоящие из ряда идентичных секций, размеры которых достаточно велики по сравнению с длиной волны. Эти антенны занимают как бы промежуточное место между непрерывными системами и решетками.

Изучение ряда вопросов статистики поля секционной антенны составляет содержание настоящей статьи.

Итак, рассматривается линейная антенна, состоящая из  $N$  секций (рис. 1). Ограничимся изучением системы с равномерным амплитудным распределением и случайными фазовыми ошибками. Последние примем в виде

$$\Phi_k(z) = \varphi_k(z) + \delta_k. \quad (1)$$

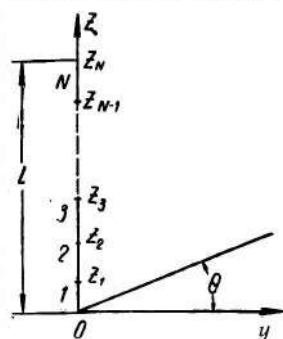


Рис. 1

Здесь  $\Phi_k(z)$  — суммарная случайная фаза в  $k$ -той секции;

$\varphi_k(z)$  — случайная функция координаты  $z$ ;

$\delta_k$  — величина, изменяющаяся случайным образом от секции к секции.

Запись ошибок в форме (1) предполагает, что в системе действует как минимум два механизма ошибок, один из которых порождает непрерывное случайное распределение фазы, а второй дает случайный скачок фазы от секции к секции.

Так, для системы из  $N$  линейных зеркальных антенн (рис. 2) под  $\varphi_k(z)$  можно понимать ошибки, обусловленные неточностью изготовления зеркала или деформацией зеркал, а в качестве  $\delta_k$  рассматривать ошибки, порожденные в фидерных узлах. Можно привести целый ряд других примеров, в которых имеет место ситуация, отражаемая соотношением (1).

Будем считать случайные функции  $\varphi_k(z)$  и случайные величины  $\delta_k$  независимыми, распределенными нормально со средними значениями,

равными нулю  $\overline{\varphi_k(z)} = 0$ ,  $\overline{\delta_k} = 0$ , дисперсиями  $\overline{\varphi_k^2(z)} = \sigma_\varphi^2$ ,  $\overline{\delta_k^2} = \sigma_\delta^2$  (равномерно распределенные ошибки) и коэффициентами корреляции

$$r_{\varphi_k \varphi_l}(z, z_1) = \frac{\overline{\varphi_k(z) \varphi_l(z_1)}}{\sigma_\varphi^2} = \begin{cases} e^{-\frac{(z-z_1)^2}{\rho^2}}, & k = l, \\ 0, & k \neq l, \end{cases} \quad (2)$$

$$r_{\delta_k \delta_l} = \frac{\overline{\delta_k \delta_l}}{\sigma_\delta^2} = \begin{cases} 1, & k = l, \\ 0, & k \neq l, \end{cases} \quad (3)$$

где  $\rho$  — радиус корреляции ошибок. Величину  $\rho$  в различных сечениях считаем одинаковой.

Поле, возбуждаемое секционной антенной, определяется множителем системы, равным

$$f(\theta) = \sum_{n=1}^N \int_{z_{n-1}}^{z_n} e^{j[kz \sin \theta + \Phi_n(z)]} dz. \quad (4)$$

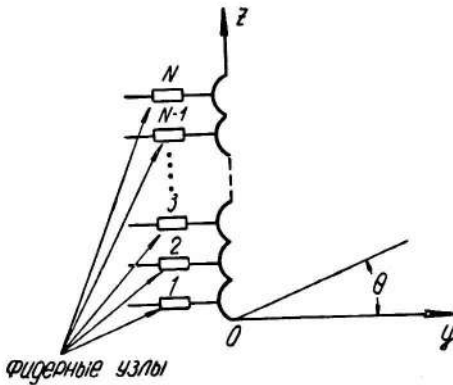


Рис. 2

Заменой переменных  $x = \frac{2z}{L}$ ,  $\psi = \frac{\pi L}{\lambda} \sin \theta$  приведем выражение (4) к следующему виду:

$$f(\psi) = \frac{L}{2} \sum_{n=1}^N \int_{x_{n-1}}^{x_n} e^{j[\psi x + \Phi_n(x)]} dx. \quad (5)$$

Здесь  $x_0 = 0$ ,  $x_N = 2$ .

При фиксированном  $\psi$  функция  $f(\psi)$  является комплексной случайной величиной. В отсутствие ошибок множитель системы не зависит от числа секций и равен множителю системы непрерывной линейной синфазной антенны

$$f_0(\psi) = \frac{L}{2} \sum_{n=1}^N \int_{x_{n-1}}^{x_n} e^{j\psi x} dx = L \frac{\sin \psi}{\psi} e^{j\psi}. \quad (6)$$

Диаграмма направленности по мощности при наличии фазовых ошибок и в отсутствие их определяется соответственно формулами

$$|f(\psi)|^2 = \frac{L^2}{4} \sum_{n,m=1}^N \int_{x_{n-1}}^{x_n} \int_{x_{m-1}}^{x_m} e^{j\psi(x-x_1)} e^{j[\Phi_n(x) - \Phi_m(x_1)]} dx dx_1, \quad (7)$$

$$|f_0(\psi)|^2 = \frac{L^2}{4} \sum_{n,m=1}^N \int_{x_{n-1}}^{x_n} \int_{x_{m-1}}^{x_m} e^{j\psi(x-x_1)} dx dx_1 = L^2 \frac{\sin^2 \psi}{\psi^2}. \quad (8)$$

Полученные выражения являются исходными для дальнейшего анализа.

**Средняя диаграмма направленности по мощности.** Усредняя соотношение (7) и используя выражение для характеристической функции

суммы двух нормально распределенных случайных величин [1], получим для средней диаграммы направленности следующее выражение:

$$\overline{|f(\psi)|^2} = \frac{L^2}{4} \sum_n \sum_{m=1}^N \int_{x_{n-1}}^{x_n} \int_{x_{m-1}}^{x_m} e^{j\psi(x-x_1)} e^{-\frac{\sigma^2}{\varphi} [1-r_{\varphi n \varphi m}(x, x_1)] - \frac{\sigma_0^2}{\delta} [1-r_{\delta n \delta m}]} dx dx_1. \quad (9)$$

Учитывая соотношения (2) и (3), находим

$$\overline{|f(\psi)|^2} = \frac{L^2}{4} \left\{ \sum_{n=1}^N \iint_{x_{n-1}}^{x_n} e^{j\psi(x-x_1)} \left[ e^{-\frac{\sigma^2}{\varphi} \left[ 1 - \frac{(x-x_1)^2}{c^2} \right]} - e^{-\frac{\sigma^2}{\varphi} - \frac{\sigma_0^2}{\delta}} \right] dx dx_1 + e^{-\frac{\sigma^2}{\varphi} - \frac{\sigma_0^2}{\delta}} \sum_{n=1}^N \int_{x_{n-1}}^{x_n} \int_{x_{m-1}}^{x_m} e^{j\psi(x-x_1)} dx dx_1 \right\}, \quad (10)$$

где  $c = \frac{2\sigma}{L}$  — радиус корреляции в относительных единицах. Вычислим слагаемые, входящие в соотношение (10).

Здесь и далее будем считать, что секции равной длины, т. е.

$$z_n = n \frac{L}{N} \text{ и } x_n = \frac{2n}{N}.$$

Разлагая экспоненциальную функцию в ряд Тейлора, имеем

$$\begin{aligned} & e^{-\frac{\sigma^2}{\varphi} \sum_{n=1}^N \iint_{x_{n-1}}^{x_n} e^{j\psi(x-x_1)} e^{\frac{\sigma^2}{\varphi^2} - \frac{(x-x_1)^2}{c^2}} dx dx_1 = \\ & = e^{-\frac{\sigma^2}{\varphi} \sum_{n=1}^N \left\{ \iint_{x_{n-1}}^{x_n} e^{j\psi(x-x_1)} dx dx_1 + \sum_{m=1}^{\infty} \frac{\sigma^{2m}}{m!} \iint_{x_{n-1}}^{x_n} e^{-\frac{(x-x_1)^2}{c^2}} m \times \right. \\ & \quad \left. \times e^{j\psi(x-x_1)} dx dx_1 \right\}. \end{aligned} \quad (10a)$$

Вводя обозначение  $c_m = \frac{c}{\sqrt{m}}$  и используя замену переменных

$$\begin{aligned} y &= \left( x - \frac{x_n + x_{n-1}}{2} \right) \frac{2}{x_n - x_{n-1}}, \\ y_1 &= \left( x_1 - \frac{x_n + x_{n-1}}{2} \right) \frac{2}{x_n - x_{n-1}}, \end{aligned} \quad (11)$$

преобразуем правую часть (10a) к виду

$$e^{-\frac{\sigma^2}{\varphi} \left\{ \frac{4N}{\psi^2} \sin^2 \frac{\psi}{N} + \frac{1}{N} \sum_{m=1}^{\infty} \frac{\sigma^{2m}}{m!} I(c_m N, \frac{\psi}{N}) \right\}},$$

где

$$I(c_m N, \frac{\psi}{N}) = \int_{-1}^1 \int_{-1}^1 e^{-\frac{(y-y_1)^2}{c_m^2 N^2} + i \frac{\psi}{N} (y-y_1)} dy dy_1.$$

Интеграл  $I(c_m N, \frac{\psi}{N})$ , весьма распространенный в статистике

антенн, вычислен и подробно протабулирован в табл. [2]. Приведем его выражение

$$I(c, \psi) = \sqrt{\pi} c^2 e^{-\frac{c^2 \psi^2}{4}} \operatorname{Re} \left[ \left( \frac{2}{c} - j \frac{\psi c}{2} \right) \Phi \left( \frac{2}{c} - j \frac{\psi c}{2} \right) - c^2 \left[ 1 - \psi c F \left( \frac{jc}{2} \right) - e^{-\frac{4}{c^2}} \cos 2\psi \right] \right], \quad (12)$$

где  $\Phi(z) = \frac{2}{\sqrt{\pi}} \int_0^z e^{-t^2} dt$  — интеграл вероятности;

$$F(z) = e^{-z^2} \int_0^z e^{t^2} dt.$$

Окончательное выражение для средней диаграммы направленности имеет следующий вид:

$$\begin{aligned} \overline{|f(\psi)|^2} = L^2 e^{-\frac{\sigma_\varphi^2}{4}} & \left\{ e^{-\frac{\sigma_\varphi^2}{4}} \frac{\sin^2 \psi}{\psi^2} + \frac{1}{N} \frac{\sin^2 \frac{\psi}{N}}{\left(\frac{\psi}{N}\right)^2} (1 - e^{-\sigma_\delta^2}) + \right. \\ & \left. + \frac{1}{4N} \sum_{m=1}^{\infty} \frac{\sigma_\varphi^{2m}}{m!} I\left(c_m N, \frac{\psi}{N}\right) \right\}. \end{aligned} \quad (13)$$

Выражение (13) справедливо для произвольных значений дисперсии ошибок, любого радиуса корреляции фазовых ошибок и произвольного числа секций.

Рассмотрим некоторые частные случаи соотношения (13).

1)  $N = 1$ . В этом случае выражение

$$\overline{|f(\psi)|^2} = L^2 e^{-\sigma_\varphi^2} \left\{ \frac{\sin^2 \psi}{\psi^2} + \frac{1}{4} \sum_{m=1}^{\infty} \frac{\sigma_\varphi^{2m}}{m!} I(c_m, \psi) \right\} \quad (14)$$

описывает среднюю диаграмму направленности линейной системы непрерывно распределенных источников при наличии случайных фазовых ошибок. Соотношение (14) было получено и детально проанализировано в монографии [2].

2)  $N \gg 1$ . Полагая  $\frac{\psi}{N} \ll 1$ ,  $cN \gg 1$ , имеем

$$\frac{\sin \frac{\psi}{N}}{\frac{\psi}{N}} \approx 1, \quad I\left(c_m N, \frac{\psi}{N}\right) \approx 4 \frac{\sin^2 \frac{\psi}{N}}{\left(\frac{\psi}{N}\right)^2} \approx 4.$$

Отсюда средняя диаграмма направленности, отнесенная к максимуму интенсивности поля в отсутствие ошибок,

$$\frac{1}{L^2} \overline{|f(\psi)|^2} = e^{-\frac{\sigma_\varphi^2}{4} - \sigma_\delta^2} F_0^2(\psi) + \frac{1}{N} \left[ 1 - e^{-\frac{\sigma_\varphi^2}{4} - \sigma_\delta^2} \right], \quad (15)$$

где

$$F_0^2(\psi) = \frac{\sin^2 \psi}{\psi^2}.$$

Выражение (15) для средней диаграммы направленности секционной антенны при  $N \gg 1$  имеет точно такую же структуру, как и выражение

для средней диаграммы направленности линейной решетки излучателей с фазовыми ошибками, характеризуемыми дисперсией  $\sigma_{\Phi}^2 = \sigma_{\varphi}^2 + \sigma_{\delta}^2$ .

Действительно, диаграмма направленности эквидистантной решетки из  $N$  ненаправленных излучателей при наличии фазовых ошибок

$$|f(\psi_1)|^2 = \left| \sum_{n=0}^{N-1} e^{j2n\psi_1 + j\Phi_n} \right|^2, \quad (16)$$

где  $\psi_1 = \frac{\pi d}{\lambda} \sin \theta$ ;  $d$  — расстояние между соседними излучателями.

Считая фазовые ошибки  $\Phi_n$  распределенными по нормальному закону со средним значением  $\overline{\Phi_n} = 0$ , дисперсией  $\overline{\Phi_n^2} = \sigma_{\Phi}^2$  и коэффициентом корреляции  $r_{nm} = \begin{cases} 1, & n = m, \\ 0, & n \neq m, \end{cases}$  после усреднения (16) и нормировки получим

$$\begin{aligned} \frac{1}{N^2} \overline{|f(\psi_1)|^2} &= \frac{1}{N^2} \overline{\left| \sum_{n=0}^{N-1} e^{j2n\psi_1 + j\Phi_n} \right|^2} = \\ &= F_0^2(\psi_1) e^{-\sigma_{\Phi}^2} + \frac{1}{N} (1 - e^{-\sigma_{\Phi}^2}), \end{aligned} \quad (17)$$

где

$$F_0^2(\psi_1) = \frac{\sin^2 N\psi_1}{N^2 \sin^2 \psi_1}.$$

Рассмотренные случаи (секционная антенна и решетка) отличаются лишь невозмущенной диаграммой направленности  $F_0^2(\psi)$ . Для достаточно больших  $N$  (при фиксированной длине антенны) эти различия исчезают, так как  $\psi_1 \ll 1$ ,  $N\psi_1 \simeq \psi$  и

$$F_0^2(\psi_1) \simeq \frac{\sin^2 N\psi_1}{N^2 \psi_1^2} \simeq F_0^2(\psi).$$

### 3). Ошибки малы.

Полагая ошибки  $\varphi_k$  и  $\delta_k$  одного порядка малости, находим из (13)

$$\overline{|f(\psi)|^2} = L^2 \left\{ (1 - \sigma_{\varphi}^2 - \sigma_{\delta}^2) F_0^2(\psi) + \frac{\sigma_{\delta}^2}{N} \frac{\sin^2 \frac{\psi}{N}}{\left(\frac{\psi}{N}\right)^2} + \frac{\sigma_{\varphi}^2}{4N} I\left(cN, \frac{\psi}{N}\right) \right\} \quad (18)$$

Отличие средней диаграммы направленности от диаграммы в отсутствие ошибок характеризуется тремя членами.

Первый ( $-\sigma_{\varphi}^2 - \sigma_{\delta}^2$ )  $\frac{\sin^2 \psi}{\psi^2}$  пропорционален диаграмме в отсутствие ошибок. Остальные два характеризуют искажение формы диаграммы при наличии ошибок. «Вклад» фазовых ошибок  $\varphi_k(z)$  и  $\delta_k$  в искажение

диаграммы определяется весовыми функциями  $\frac{1}{4N} I\left(cN, \frac{\psi}{N}\right)$  и  $\frac{\sin^2 \frac{\psi}{N}}{\left(\frac{\psi}{N}\right)^2}$  со-

ответственно.

В направлении главного максимума  $\psi = 0$  и

$$\overline{|f(0)|^2} = L^2 \left\{ 1 - \sigma_{\varphi}^2 \left[ 1 - \frac{1}{4N} I(cN, 0) \right] - \sigma_{\delta}^2 \left[ 1 - \frac{1}{N} \right] \right\}. \quad (19)$$

Как видно из (19), с увеличением  $N$  величина  $\overline{|f(0)|^2}$  уменьшается. При

любых  $N$  величина  $1 - \frac{1}{4N} I(cN, 0)$  больше или равна  $1 - \frac{1}{N}$ , так как  $I(cN, 0) \leq 4$ .

Отсюда следует, что вклад ошибок  $\varepsilon_k(z)$  в уменьшение средней мощности, излучаемой в направлении главного максимума, больше, чем вклад ошибок  $\delta_k$  (при одинаковой дисперсии этих ошибок).

**Средний к. н. д.** Будем считать, что ошибки малы, и полная излучаемая мощность при наличии ошибок равна мощности излучения в отсутствие их. При этом снижение к. н. д. в направлении главного максимума  $\Delta$ :

$$\Delta = \frac{D_0}{\bar{D}} - 1 = \frac{|f_k(0)|^2}{|f(0)|^2} - 1, \quad (20)$$

где  $D_0$  и  $\bar{D}$  — к. н. д. и средний к. н. д. в отсутствие ошибок и при наличии их.

Подставляя в (20) выражение (19), имеем

$$\Delta = \varepsilon_2^2 \left[ 1 - \frac{1}{4N} I(cN, 0) \right] + \varepsilon_1^2 \left( 1 - \frac{1}{N} \right). \quad (21)$$

Таким образом, при малых ошибках снижение к. н. д. равно сумме дисперсий фазовых ошибок  $\varepsilon_2^2$  и  $\varepsilon_1^2$ , взятых с весовыми функциями  $1 - \frac{1}{4N} I(cN, 0)$  и  $1 - \frac{1}{N}$  соответственно. С увеличением числа секций  $N$  весовые функции растут.

При  $cN \gg 1$   $I(cN, 0) \simeq 4$  и

$$\Delta = (\varepsilon_2^2 + \varepsilon_1^2) \left( 1 - \frac{1}{N} \right). \quad (22)$$

Максимальное значение снижения к. н. д. равно дисперсии фазовых ошибок  $\Phi_k(z)$ , т. е.  $\Delta_{\text{макс}} = \varepsilon_2^2 + \varepsilon_1^2 = \varepsilon_2^2$ .

**Флуктуации направления главного максимума.** При наличии фазовых ошибок направление главного максимума диаграммы направленности уходит.

Исходным для определения величины ухода является выражение (7). Полагая ошибки малыми, ограничимся в этом выражении членами второго порядка малости

$$|f(\psi)|^2 = \frac{L^2}{4} \sum_{n, m=1}^N \int_{x_{n-1}}^{x_n} \int_{x_{m-1}}^{x_m} \left\{ \cos \psi (x - x_1) \left[ 1 - \frac{(\Phi_n(x) - \Phi_m(x_1))^2}{2} \right] - \right. \\ \left. - \sin \psi (x - x_1) [\Phi_n(x) - \Phi_m(x_1)] \right\} dx dx_1. \quad (23)$$

При малых ошибках уход направления главного максимума также мал  $\psi_{\text{макс}} \ll 1$ , поэтому

$$\cos \psi (x - x_1) \simeq 1 - \frac{\psi^2 (x - x_1)^2}{2},$$

$$\sin \psi (x - x_1) \simeq \psi (x - x_1).$$

Приравнявая далее производную  $\frac{d|f(\psi)|^2}{d\psi}$  нулю, найдем величину ухода направления главного максимума

$$\psi_{\text{макс}} = - \frac{\sum_{n, m=1}^N \int_{x_{n-1}}^{x_n} \int_{x_{m-1}}^{x_m} (x - x_1) [\Phi_n(x) - \Phi_m(x_1)] dx dx_1}{\sum_{n, m=1}^N \int_{x_{n-1}}^{x_n} \int_{x_{m-1}}^{x_m} (x - x_1)^2 dx dx_1}. \quad (24)$$

Учитывая, что

$$\sum_{n, m=1}^N \int_{x_{n-1}}^{x_n} \int_{x_{m-1}}^{x_m} (x - x_1)^2 dx dx_1 = \frac{8}{3}.$$

$$\sum_{n, m=1}^N \int_{x_{n-1}}^{x_n} \int_{x_{m-1}}^{x_m} (x - x_1) [\Phi_n(x) - \Phi_m(x_1)] dx dx_1 = 4 \sum_{n=1}^N \int_{x_{n-1}}^{x_n} (x - 1) \Phi_n(x) dx,$$

преобразуем выражение (24)

$$\psi_{\text{макс}} = -\frac{3}{2} \sum_{n=1}^N \int_{x_{n-1}}^{x_n} (x - 1) \varphi_n(x) dx - \frac{3}{N^3} \sum_{n=1}^N \delta_n (2n - 1 - N). \quad (25)$$

Случайная величина  $\psi_{\text{макс}}$  распределена нормально со средним значением  $\overline{\psi_{\text{макс}}} = 0$  и дисперсией, определяемой в силу независимости ошибок  $\varphi_k(z)$  и  $\delta_k$  выражением

$$\begin{aligned} \overline{\psi_{\text{макс}}^2} &= \frac{9}{4} \sum_{n, m=1}^N \int_{x_{n-1}}^{x_n} \int_{x_{m-1}}^{x_m} (x - 1)(x_1 - 1) \overline{\varphi_n(x) \varphi_m(x_1)} dx dx_1 + \\ &+ \frac{9}{N^4} \sum_{n, m=1}^N \overline{\delta_n \delta_m} (2n - 1 - N)(2m - 1 - N). \end{aligned} \quad (26)$$

Используя (2) и (3), имеем

$$\overline{\psi_{\text{макс}}^2} = \frac{9}{4} \sigma_{\varphi}^2 \sum_{n=1}^N \iint_{x_{n-1}}^{x_n} (x - 1)(x_1 - 1) e^{-\frac{(x-x_1)^2}{c^2}} dx dx_1 + \frac{3(N^2 - 1)}{N^3} \sigma_{\delta}^2. \quad (27)$$

Вычислим первое слагаемое выражения (27).

Заменой переменных (11) приведем его к виду

$$\begin{aligned} &\frac{9}{4N^4} \sigma_{\varphi}^2 \sum_{n=1}^N \iint_{-1}^1 (y + 2n - 1 - N)(y_1 + 2n - 1 - N) e^{-\frac{(y-y_1)^2}{c^2 N^2}} dy dy_1 = \\ &= \frac{9}{4N^3} \sigma_{\varphi}^2 \left\{ \iint_{-1}^1 yy_1 e^{-\frac{(y-y_1)^2}{c^2 N^2}} dy dy_1 + \frac{N^2 - 1}{3} \iint_{-1}^1 e^{-\frac{(y-y_1)^2}{c^2 N^2}} dy dy_1 \right\}. \end{aligned}$$

Интеграл

$$\begin{aligned} Y(cN) &= \iint_{-1}^1 yy_1 e^{-\frac{(y-y_1)^2}{c^2 N^2}} dy dy_1 = \frac{2}{3} \sqrt{\pi} cN \Phi\left(\frac{2}{cN}\right) + \frac{c^4 N^4}{6} (1 - e^{-\frac{4}{c^2 N^2}}) - \\ &- c^2 N^2 \left(1 - \frac{1}{3} e^{-\frac{4}{c^2 N^2}}\right) \end{aligned}$$

вычислен в монографии [2]. Значения его при разных  $cN$  даны в таблице.

$cN$	$Y(cN)$	$cN$	$Y(cN)$	$cN$	$Y(cN)$
0,1	0,108	0,7	0,377	2,5	0,118
0,2	0,197	1	0,346	3	0,087
0,3	0,266	1,4	0,264	4	0,051
0,4	0,317	1,8	0,195	5	0,034
0,5	0,351	2	0,168	6	0,024

Окончательное выражение для дисперсии ухода направления главного максимума имеет следующий вид:

$$\overline{\psi_{\text{макс}}^2} = \frac{9}{4N^3} \sigma_{\varphi}^2 \left\{ Y(cN) + \frac{N^2-1}{3} I(cN, 0) \right\} + \frac{3(N^2-1)}{N^3} \sigma_{\delta}^2. \quad (28)$$

При  $N = 1$

$$\overline{\psi_{\text{макс}}^2} = \frac{9}{4} \sigma_{\varphi}^2 Y(c). \quad (29)$$

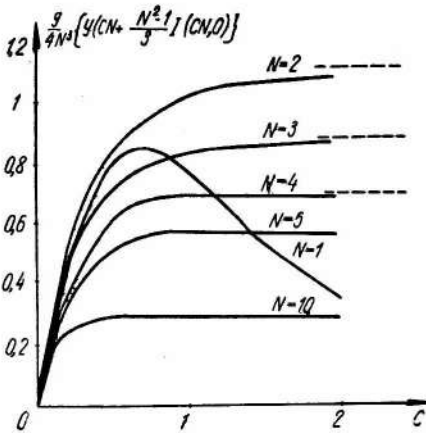


Рис. 3

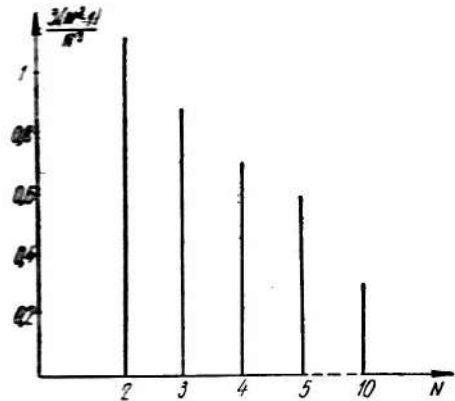


Рис. 4

Величина  $\overline{\psi_{\text{макс}}^2}$  не зависит, естественно, от ошибок  $\delta_k$ . Формула (29), ранее полученная в [2], определяет флуктуации направления главного максимума для линейной системы непрерывно распределенных источников.

При  $N \gg 1$

$$Y(cN) \approx \iint_{-1}^1 y y_1 \left[ 1 - \frac{(y - y_1)^2}{c^2 N^2} \right] dy dy_1 = \frac{8}{9c^2 N^2};$$

$$I(cN, 0) \approx 4 - \frac{8}{3c^2 N^2}$$

и

$$\overline{\psi_{\text{макс}}^2} \approx \frac{3(N^2-1)}{N^3} (\sigma_{\varphi}^2 + \sigma_{\delta}^2) \approx \frac{3}{N} (\sigma_{\varphi}^2 + \sigma_{\delta}^2). \quad (30)$$

Используя (16), можно показать, что выражение (30) описывает также флуктуации направления главного максимума многоэлементной эквидистантной решетки с фазовыми ошибками.

Как видно из соотношения (28), ошибки  $\varphi_k(z)$  и  $\delta_k$  влияют по-разному на величину  $\overline{\psi_{\text{макс}}^2}$ . Зависимости весовых коэффициентов ошибок от радиуса корреляции и числа секций представлены на рис. 3, 4. Из рисунка видно, что весовая функция ошибок  $\varphi_k(z)$  при  $N \geq 2$  монотонно растет с увеличением  $c$ . При  $c \rightarrow \infty$

$$Y(cN) \rightarrow 0, \quad I(cN, 0) \rightarrow 4 \quad \text{и} \quad \frac{9}{4N^3} \left[ Y(cN) + \frac{N^2-1}{3} I(cN, 0) \right] \rightarrow \frac{3(N^2-1)}{N^3}.$$



Таким образом, вклад ошибок  $\varphi_k(z)$  в величину ухода направления главного максимума меньше (в пределе при  $c \rightarrow \infty$  равен) вкладу ошибок  $\delta_k$ .

Весовые функции достигают наибольшего значения при  $N = 2$ . При дальнейшем увеличении  $N$  весовые функции уменьшаются. При  $N = 1$  направление главного максимума флуктуирует только за счет ошибок  $\varphi_k(z)$ . Кривая весовой функции  $\frac{9}{4} Y(c)$  в зависимости от  $c$  носит резонансный характер с максимумом при  $c \approx 0,8$ .

#### ЛИТЕРАТУРА

1. Б. Р. Левин. Теория случайных процессов и ее применение в радиотехнике. Изд-во «Советское радио», 1957.
2. Я. С. Шифрин. Статистика поля линейной антенны. АРТА, 1962.